

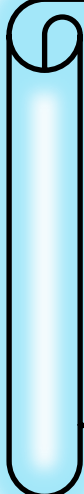
كلية العلوم

القسم : المهنرياء

السنة : الرابعة



٩



المادة : حالة صلبة ٢

المحاضرة : السادسة/نظري /

{{{ A to Z مكتبة }}}  
٩

مكتبة A to Z Facebook Group

كلية العلوم ، كلية الصيدلة ، الهندسة التقنية



يمكنكم طلب المحاضرات برسالة نصية (SMS) أو عبر (What's app-Telegram) على الرقم 0931497960

## الفصل التاسع - المواد العازلة Dielectrics

مقدمة: ماذا يحدث لدى تطبيق حقل كهربائي بين طرفي عازل؟ يمكن أن نتوقع للوهلة الأولى أن لا شيئاً مهماً يحدث في العازل لعدم تدفق تيار كهربائي فيه، غير أن ثمة ظواهر أخرى جديرة بالاهتمام تظهر هنا؛

- كالاستقطاب العازلي *Dielectric Polarization*
- ومفعول الضغط الكهربائي *Piezoelectric Effect*

إن تأثيرات الحقول المغناطيسية مع الأجسام الصلبة تكون ضعيفة جداً في معظم الأحيان (باستثناء تأثيرها مع المواد الفرومغناطيسية)، أمّا من أجل الحقل الكهربائي، فالأمر مختلف. فتأثير المادة مع الموجات الكهرومغناطيسية يُبسطُ كثيراً، لأنّه بمقدورنا إهمال الجزء المغناطيسي من التأثير في معظم الأحيان لاسيما عند وصف البارامغناطيسية والدايامغناطيسية (ولكن ليس عند وصف الفرومغناطيسية). ولكن من جهة أخرى، يُصبح حساب الحقل الكهربائي داخل عازل صعباً، لأنّه يجب أن نأخذ بالحسبان ليس الحقل الخارجي وحسب، بل الحقل الناتج من استقطاب الجسم الصلب نفسه أيضاً.

### 9-1 الوصف الجهي (الماكروسكوبى) Macroscopic Description

إن الوصف الماكروسكوبى لمفعول العازلية *Dielectric Effects* مشابه للوصف الماكروسكوبى للمغناطيسية، ولكن ليس نفسه تماماً. وللقيام بهذا الوصف نبدأ ببعض التعريفات: إن وجود حقل كهربائي،  $\vec{E}$ ، يُسبب استقطاباً عازلياً،  $\vec{P}$ ، للجسم الصلب يأخذ الشكل الآتى:

$$\vec{P} = \chi_e \epsilon_0 \vec{E}, \quad (1-9)$$

حيث  $\chi_e$  الطوعية الكهربائية *Electric Susceptibility*، و  $\epsilon_0 = 8.854 \times 10^{-12} \text{ C}^2 \text{J}^{-1} \text{m}^{-1}$  سماحية الخلاء للحقل الكهربائي *Vacuum-Permittivity* (لا شيء في الخلاء يمكن أن يستقطب ولذلك  $\chi_e = 0$ ). ينشأ الاستقطاب بصورة رئيسة من اصطدام (ثنائيات-قطب) كهربائية دقيقة **(مجهرية)** موجودة أصلاً أو تحرّض بالحقل المطبق. نكتب علاقة عزوم (ثنائيات-قطب) الكهربائية **المجهرية** بالشكل الآتى:

$$\vec{p} = q \vec{\delta}$$

حيث  $q$  قيمة الشحنات الكهربائية و  $\vec{\delta}$  متجه الإزاحة فيما بينها.

يُعين هذا المتجه من أجل (ثنائيات-قطب) كهربائية عادةً من الشحنة السالبة إلى الشحنة الموجبة. وعندما يمكن التعبير عن **الاستقطاب الماكروسكوبى** بدلالة **(ثنائيات-قطب) المجهرية** بالشكل

$$\vec{P} = \frac{N}{V} \vec{p} = \frac{N}{V} q \vec{\delta}. \quad (2-9)$$

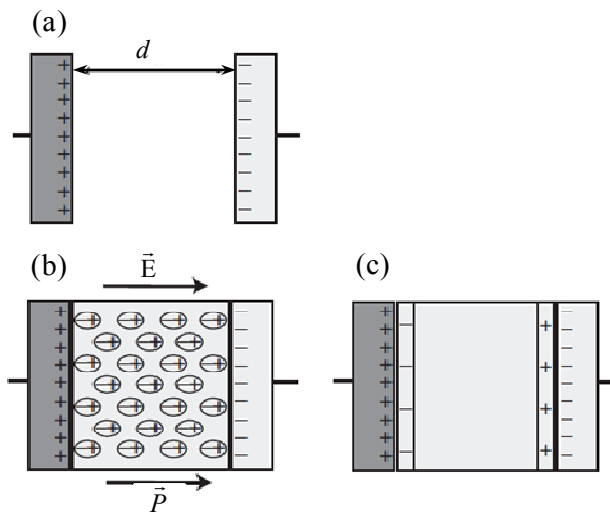
يتضح من العلاقة الأخيرة أن الكمية  $\vec{P}$  تملك أبعاد كثافة شحنة سطحية  $\text{C/cm}^2$ . إن ثابت المادة الذي يرتبط بقوة الطوعية الكهربائية،  $\chi_e$ ، هو سماحية المادة النسبية *Relative Dielectric Constant* أو ثابت عازليتها،  $\epsilon$ ، الذي يُعطى بالعلاقة

$$\chi_e = \epsilon - 1. \quad (3-9)$$

بهذه الطريقة، تُعيَّن  $\chi_e$  و  $\epsilon_0$  (ليست لهما وحدات قياس). عند التعامل مع الخصائص العازلية للأجسام الصلبة، يُشيع استخدام  $\epsilon_0$  لوصف استقطاب المادة أكثر بكثير من استخدام  $\chi_e$ .

تمثِّل العلاقة الخطية (1-9)،  $\bar{P} = \chi_e \epsilon_0 \bar{E}$ ، كما في حالة المغناطيسية، **حداً للحقول الضعيفة**. والمشكلة هنا

تكمُّن في أن التأثير الكهربائي مع المادة ليس ضعيفاً بالضرورة وتصادف عادةً **مفاعيل غير خطية** عند تطبيق حقول كهربائية قوية، تصدر من ضوء ليزر على سبيل المثال؛ وهذا مجال بحثٍ مثيرٍ جداً للاهتمام في حد ذاته، ولكننا لا نناقش هنا.



الشكل (1-9): مكثفة مستوية: (a) وجود شحنات على صفيحتي المكثفة بدون وجود مادة عازلة بينهما.

(b) استقطاب المادة العازلة بين الصفيحتين.

(c) يمكن الفعل المحصل للاستقطاب في وجود كثافات شحنة سطحية على المادة العازلة عند السطح الفاصل الصفيحة والمادة العازلة.

فمن أجل المكثفة الحالية من أية مادة في **الشكل (1a-9)**، يمكن استعمال قانون غوص للتأكد حسابياً من أن الحقل الكهربائي بين الصفيحتين المتقابلتين ذات المساحة  $A$  والتباين  $d$  بينهما يمتلك القيمة الثابتة

$$|\bar{E}| = \sigma / \epsilon_0$$

إذ ينتج من ذلك مباشرةً أن سعة المكثفة تساوي

$$C = A \epsilon_0 / d$$

وعند وضع مادة عازلة بين صفيحتي المكثفة، **فإنها تستقطب وتسبي الاستقطاب المايكروسكوب**  $\bar{P}$ ، الذي

يمكن تخيله منبثقاً من (ثنائيات-قطب) كهربائية صغيرة مجهرية بكتافة عالية جداً، راجع **الشكل (1b-9)**.

إن **ال فعل الأكثر أهمية ( الثنائيات - القطب )** هذه يمكن في أنها **تؤدي** إلى ظهور كثافة شحنة سطحية

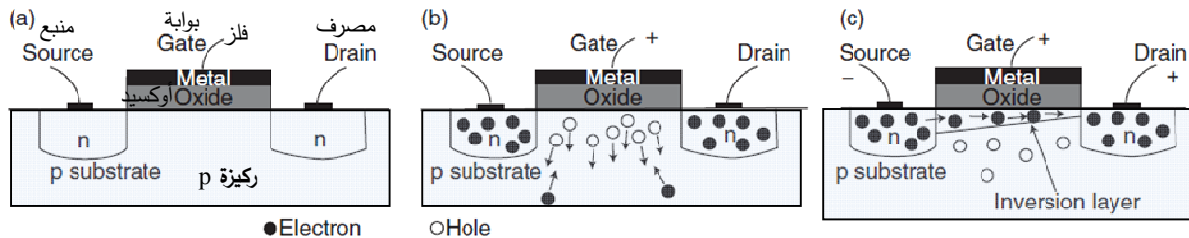
إجمالية في مكان التقاء المادة العازلة مع الصفيحتين.

فعندما نأخذ ذلك بالحسبان نجد الحقل الكهربائي الإجمالي الوسطي **Average** في المكثفة يساوي

$$C = \frac{A \epsilon_0}{d} \quad \text{ثم إن} \quad |\bar{E}| = \frac{\sigma - |\bar{P}|}{\epsilon_0} = \frac{\sigma}{\epsilon_0}$$

→ أي أن **الحقل الكلي الوسطي ينخفض** بمقدار العامل  $\epsilon_0$ ، وخلافاً لذلك، تزداد سعة المكثفة بمقدار العامل ذاته؛

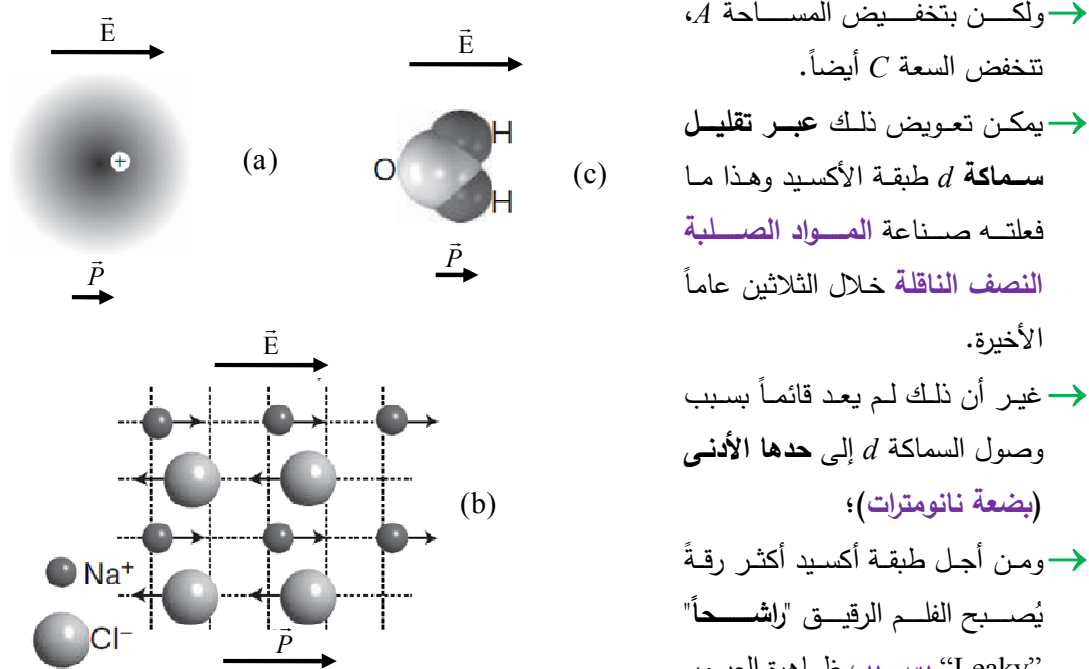
→ يُستخدم هذا الحساب عادةً في تعين  $\epsilon_0$  تجريبياً.



الشكل (13-7): تصميم MOSFET ومبدأ عمله: (a) بدون تطبيق جهد؛ (b) بتطبيق جهد بوابة موجب صغير القيمة؛ (c) بتطبيق جهد بين المنبع والمصرف وجهد بوابة كبير كافية لخلق طبقة انقلاب.

لدرس الترانزستور الحقلية من نوع (الفلز - أكسيد - نصف ناقل) MOSFET المبين في [الشكل \(13-7\)](#):

- تقوم طبقة الأكسيد الواقعة تحت البوابة مقام المادة العازلة في مكثفة مستوية الصفيحتين؛
- يجب أن تكون هذه المكثفة قادرة على تخزين **شحنة كهربائية كافية** لجعل الـ MOSFET يعمل (من دون الحاجة إلى تطبيق جهد بوابة كبير جداً)، أي يجب أن يمتلك سعة كبيرة بشكل معقول.
- **فالهدف التكنولوجي** يكمن في تصميم وتكوين ترانزستورات أصغر من أي وقت مضى، والمسألة هنا محلولة في هذا الإطار: فالسعة هي  $C = A \in \in_0 / d$ ، حيث  $\in$  ثابت العازلية لأكسيد البوابة؛



الشكل (9-9): آليات تؤدي لاستقطاب كهربائي مجهرى.

(a) الحقل الكهربائي **يقطب** كل الذرات في الجسم الصلب.

(b) يمكن للشبكة البلورية في الأجسام الصلبة الأيونية، مثل  $\text{NaCl}$  أن **تستقطب** مؤدياً إلى ثانية قطب موضعية. الشبكة المتقاطعة تحدد موقع الأيونات بدون حقل مطبق. (c) إذا توافرت (ثنائيات - قطب) دائمة في الجسم الصلب وكانت حرة الدوران، فإنها توجه نفسها بشكل موازٍ للحقل. يُعد جزيء الماء بمثابة مثال، على **جزيء ثنائي قطب دائم**.

→ يمكن تعويض ذلك عبر تقليل سماكة  $d$  طبقة الأكسيد وهذا ما فعله صناعة **المواد الصلبة** **النصف الناقلة** خلال الثلاثين عاماً الأخيرة.

→ غير أن ذلك لم يعد قائماً بسبب وصول السماكة  $d$  إلى حدتها الأدنى (**بضعة نانومترات**)؛

→ ومن أجل طبقة أكسيد أكثر رقةً يُصبح الفلم الرقيق "راشحاً" "Leaky" بسبب ظاهرة العبور **Tunneling**.

→ ولذلك، فإن مجال البحث الجاري الآن يكمن في إيجاد مادة **بثبات عازلية**  $\in$  أكبر بكثير مما هو عليه من أجل  $\text{SiO}_2$  لكي تعمل

بمثابة أكسيد البوابة؛ وعندما يمكن المحافظة على نفس السعة من دون الحاجة إلى أكسيد بوابة بسمانة رقيقة جداً.

### 9-2 الاستقطاب الدقيق (الميكروسكوبي) Microscopic Polarization

يوجد عدد من الآليات التي تسبب وجود عزوم (ثنائيات- قطب) كهربائية **مجهرية** تؤدي لاستقطاب جهري، **والشكل** (9-2) يوضح هذه الآليات:

**فالشكل** (9-2a) يوضح **آلية أولى** تُعد في حقيقة الأمر مفعولاً ذرياً ومرتبطةً قليلاً **بوضع الذرات** في الجسم الصلب.

إن التناظر الكروي لذرة ما يرتفع بوجود الحقل الكهربائي، والشحنات السالبة والموجبة تتراوح بالنسبة لبعضها البعض مما يؤدي لظهور (ثنائي- قطب) كهربائي عزمه:

$$\vec{P} = \alpha \vec{E}, \quad (4-9)$$

حيث  $\alpha$  الاستقطابية (قابلية الاستقطاب) **الذرية** *Atomic Polarizability*

→ يسمى هذا المفعول **الذرئي استقطاباً إلكترونياً** *Electronic Polariziton*

→ وبالطبع هو موجود في جميع الأجسام الصلبة.

**آلية الاستقطاب الثانية** مرتبطة بالأجسام الصلبة **الأيونية** حيث يحدث شيء ما مشابه جداً لما يحدث على مستوى التدرج الأكبر من مستوى التدرج في الآلية الأولى، كما يوضح **الشكل** (9-2b):

→ **فالشبكة البلورية** في حد ذاتها **تستقطب** في الحقل الكهربائي، لأن الأيونات الموجبة تتراوح في اتجاه الحقل الخارجي والأيونات السالبة في الاتجاه المعاكس له؛ يسمى هذا المفعول **استقطاباً أيونياً**.

وأخيراً، ثمة إمكانية (ثنائيات- قطب) موجودة أصلاً في المادة لأن تدور في الحقل الكهربائي:

يمكن (ثنائيات- القطب) الدائمة هذه أن تكون جزيئات؛ كالماء  $H_2O$  وحمض كلور الماء  $HCl$ . تسمى آلية الاستقطاب هذه **استقطاباً اتجاهياً (زاوياً)** *Orientational*.

ولكن من الشائع وجود هذا النوع من الاستقطاب في السوائل أو الغازات أكثر من وجوده في الأجسام الصلبة، بسبب ضرورة أن تكون (ثنائيات- القطب) حرة الدوران.

وإذا ما تذكرنا العالقتين (9-1) و (9-3) دوماً، فيمكن القول إن وجود آليات استقطاب مختلفة سيؤدي إلى تحصيل ثوابت عازلية،  $\epsilon$ ، مختلفة. يستعرض الجدول 9-1 قيم  $\epsilon$  من أجل عدد من المواد.

الجدول 9-1: ثابت العازلية  $\epsilon$  من أجل بعض المواد المختارة في درجة حرارة الغرفة

ثابت العازلية	اسم المادة	ثابت العازلية	ثابت العازلية	اسم المادة	ثابت العازلية	اسم المادة
6.1	NaCl	5.7	الألماس	1	الخلاء	
350	<b>SrTiO<sub>3</sub></b>	11.7	Si	1.000573 <sup>1</sup>	الهواء	
25.8	الإيتانول (السائل)	<b>3.9</b>	<b>SiO<sub>2</sub></b>	2.5-3.5	المطاط	
81.1	الماء (السائل)	10.2	CdSe	5-10	الزجاج	

<sup>1</sup> في الدرجة 283 K والضغط 1013 hPa

❖ يتصرف الهواء في الشروط النظامية بثابت عزل قريب من الواحد (الطاوعية الكهربائية قريبة من الصفر)، لأن كثافة الهواء ببساطة منخفضة جداً.

❖ ثابت العازلية من أجل الأجسام الصلبة أكبر من ذلك بكثير؛ فمن أجل بلورات تتصرف باستقطاب أيوني (كلوراتي  $\text{NaCl}$  وتيتانات الستروننيوم  $\text{SrTiO}_3$ ) يكون ثابت العازلية أكبر منه بكثير من أجل تلك البلورات التي لا تتصرف إلا باستقطاب إلكتروني (كاللماض)، ولكن هذا الكلام ليس دوماً صحيحاً. بلورة  $\text{NaCl}$  التي تتصرف باستقطاب أيوني تمتلك ثابت عازلية،  $\epsilon$ ، قريب جداً من ثابت العازلية لللماض، في حين إن قيمته أكبر من ذلك بكثير من أجل  $\text{SrTiO}_3$ .

إن الآليات المجهرية لاستقطاب الجسم الصلب تذكرنا بعض الشيء بالآليات المؤدية إلى تمعنطها، غير أنه يوجد اختلاف مهم هنا؛ فكل الآليات الموصوفة أعلاه تؤدي إلى استقطاب في اتجاه الحقل الخارجي أي إلى سلوك "بارا-كهربائي" "Para-electric" ولا تؤدي إلى سلوك دايا-كهربائي "Dia-electric".

### 9-3 الحقل الموضعي :The Local Field

لفرض أن ثابت العازلية،  $\epsilon$ ، لجسم صلب متبلور ما معلوم ونريد حساب الاستقطابية المجهرية،  $\alpha$ ، للذرات المؤلفة له، على فرض عدم وجود آليات استقطاب أخرى. يمكننا استعمال العلاقات (9-1) - (9-4) لكتابة العلاقة الآتية:

$$\vec{P} = \underbrace{(\epsilon - 1)}_{\epsilon_0} \vec{E} \equiv \frac{N}{V} \vec{p} = \frac{N}{V} \alpha \vec{E}, \quad (5-9)$$

حيث  $\vec{E}$  **الحقل الكهربائي الوسطي** في المادة العازلة أي **مجموع الحقل الخارجي والحقل الداخلي الوسطي الناتج من الاستقطاب**. إذن، في حالة مادة عازلة موجودة داخل مكثفة مستوية الصفيحتين، يكون  $\vec{E}$  هو هذا الحقل؛ وهو الحقل الخارجي المختزل بمقدار العامل  $\epsilon$ . وبإعادة ترتيب العلاقة (5-9) نحصل على العلاقة المطلوبة الآتية:

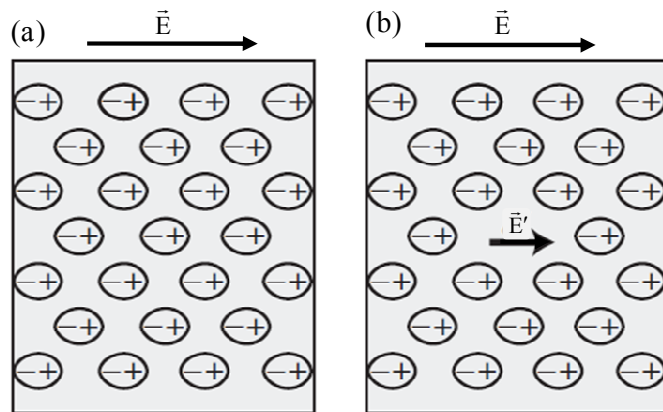
$$\alpha = \frac{(\epsilon - 1) \epsilon_0 V}{N}. \quad (6-9)$$

لسوء الحظ هذا ليس صحيحاً، لأن (ثنائي- القطب) المجهر في الجسم الصلب لا يشعر بالحقل الوسطي،  $\vec{E}$ ، وإنما **بالحقل الموضعي Local Field** الموجود في موقعه،  $\vec{E}_{loc}$ ، ويمكن أن يكون ذلك مختلفاً تماماً. يمكننا تخيل هذا الحقل الموضعي باقتطاع (ثنائي- القطب) المدروس وفحص تأثير كل الشحنات الأخرى الموجودة في جواره، وهذا ما يوضحه الشكل (3-9). فتأثير (ثنائيات- القطب) المجاورة يؤدي إلى حقل إضافي،  $\vec{E}'$ ، يوازي اتجاهه اتجاه الحقل الوسطي، أي أن الحقل الموضعي الذي شعر به كل (ثنائي- قطب) أقوى من الحقل الوسطي في الجسم الصلب المدروس.

لن نستنتج شدة الحقل الموضعي هنا، ونقبل بالنتيجة الآتية كما هي

$$\vec{E}_{loc} = \frac{1}{3} (\epsilon + 2) \vec{E}, \quad (7-9)$$

حيث نحصل على العلاقة



الشكل (9-3): الحقل الموضعي المؤثر في وحدات مجهرية قابلة للاستقطاب. (a) ثانية قطب مجهرية في مادة عازلة موجودة في حقل خارجي. الحقل الكهربائي  $\vec{E}$  هو الحقل الداخلي الوسطي في المادة العازلة. (b) الحقل الموضعي الذي يتعرض لكل (ثاني قطب) بمفرده ليس  $E$  تماما وإنما  $\vec{E} + \vec{E}'$ ، لأن الشحنات المجاورة تؤدي إلى ازدياد الحقل.

$$\vec{P} = \frac{N}{V} \alpha \vec{E}_{loc} = \frac{N\alpha}{3V} (\in +2) \vec{E}. \quad (8-9)$$

ومن جهة أخرى، لدينا العلاقة (1-9)،  $\vec{P} = \chi_e \in_0 \vec{E}$ ، مع العلاقة (3-9)،  $\chi_e = \in - 1$ ، أو الطرف الأيسر من العلاقة (5-9)؛ كعلاقة من أجل  $\vec{P}$ ، وبمساواتهما مع بعضهما البعض نحصل على المساواة:

$$\vec{P} = \frac{N\alpha}{3V} (\in +2) \vec{E} = \chi_e \in_0 \vec{E} = (\underbrace{\in - 1}_{\in_0}) \in_0 \vec{E},$$

ومن ثم نحصل على ما يسمى بعلاقة **كلاوزيوس - موسوتي** *Clausius-Mossotti Relation* الآتية، وهي تربط **الاستقطابية الذرية بثابت العازلة**:

$$\alpha = \frac{\in - 1}{\in + 2} \frac{3 \in_0 V}{N}. \quad (9-9)$$

يمكن التتحقق من هذه العلاقة بأفضل طريقة من أجل الغازات حيث يمكن للكثافة أن تتغير.

#### 9-4 تابعية ثابت العازلة لتوافر الحقل الكهربائي Constant Frequency Dependency of the Dielectric

##### 9-1 تهيج اهتزازات الشبكة البُلُورية Excitation of Lattice Vibrations

لقد درسنا إلى الآن **السلوك الكهرباسك** **فقط**. ولكن الأكثر إثارة للاهتمام هو **السلوك الديناميكي** للحقول المتغيرة مع الزمن، وعلى وجه الخصوص، في مجال التواترات (الترددات) البصرية. نعلم من البصريات أن  $\epsilon$ ، في الواقع عدد عقدي<sup>2</sup>، وقد تعرّضنا في نموذج درودي للتابعية التردية  $L \in$ ، حيث وجدنا أن بمقدور ذلك أن يُفَسَّر، لماذا تُصبح الفلزات شفافةً للضوء ذي الترددات الأعلى من تردد البلازما،  $\omega$ . تسمى (التابعية - التردية)  $\epsilon(\omega)$   **التابع العازلة Dielectric Function**

<sup>2</sup> من أجل المواد المتباينة،  $\epsilon$  ليست كمية سلمية حتى، وإنما تنسور عقدي من الدرجة الثانية. نهمل هنا كما في أي كتاب آخر مفعول عدم تمثيل المناخي، ما لم تكن هناك ضرورة ملحة من أجل ظاهرة بذاتها.

وُجِدَ أَيْضًاً مِنْ أَجْلِ العَوَازِلِ أَنَّ التَّابِعَ  $(\omega)$  عَقْدِي وَمِرْتَبَةً بِالْتَّرِيدِ وَأَنَّهُ يُمْكِن نَقْلُ الطَّاقَةِ الَّتِي يَحْمِلُهَا الضَّوْءُ إِلَى الْجَسَمِ الصَّلْبِ الْمَدُوسِ **تَجَاوِبِيًّا** عِنْدَ بَعْضِ التَّرِيدَاتِ. إِنَّ التَّابِعِيَّةَ التَّرِيدِيَّةَ لـ  $\omega$  تَسْتَوِجُ تَابِعِيَّةَ تَرِيدِيَّةَ لِقَرِينَةِ

الجدول 9-2: ثوابت العازلية  $\epsilon$  مِنْ أَجْلِ بَعْضِ الْمَوَادِ الْمُخْتَارَةِ فِي الْحَالَةِ السَّاکِنَةِ وَالْتَّرِيدَاتِ الْبَصْرِيَّةِ.

الانكسار  $N$ ، وَهَذَا فَعْلٌ يُعْرَفُ جَيْدًا بِظَاهِرَةِ التَّبَدُّدِ فِي الْمَوَادِ الْبَصْرِيَّةِ؛ كَالْزَجَاجِ.

إِنَّ كُلَّ أَنْوَاعِ الْاسْتَقْطَابِ الْمَجَهَرِيِّ

فِي الْحَقْلِ الْكَهْرَبَائِيِّ السَّاکِنِ مَهْمَةً:

→ الْاسْتَقْطَابُ الْإِلْكْتَرُونِيِّ

→ وَالْاسْتَقْطَابُ الْأَيُونِيِّ

→ وَالْاسْتَقْطَابُ الْإِتَاجَاهِيِّ

- وَمِنْ جَهَةِ أُخْرَى، عِنْدَ التَّرِيدَاتِ الْعَالِيَّةِ جَدًا **تَحْرِكُ الْأَيُونَاتِ بِبَطْءٍ شَدِيدٍ** لَدْرَجَةٍ لَا تُسْتَطِعُ عَنْهَا مَوَاكِبَةِ **تَغْيِيرَاتِ الْحَقْلِ الْكَهْرَبَائِيِّ**، حَتَّى أَنْ دُورَانَ (ثَانِيَاتٍ - الْقَطْبِ) الْدَائِمَةِ يَكُونُ أَبْطَأً مِنْهَا؛ وَلَذِلِكَ، يَبْقَى الْاسْتَقْطَابُ الْإِلْكْتَرُونِيِّ السَّرِيعُ جَدًا فَقَطُّ، وَمِنْ ثُمَّ الْاسْتَقْطَابُ الْإِجمَالِيُّ لِلْجَسَمِ الصَّلْبِ يَتَنَاقَصُ كَثِيرًا. وَبِطَبِيعَةِ الْحَالِ، سَتَكُونُ الْاسْتَقْطَابِيَّةُ  $(\omega)$  عِنْدَ التَّرِيدَاتِ الْعَالِيَّةِ أَقْلَى مِنْهَا فِي حَالَةِ الْحَقْلِ الْكَهْرَبَائِيِّ.

- لَدِينَا فِي حَالَةِ الْاسْتَقْطَابِ الْأَيُونِيِّ **تَصْوِيرُ جَيْدٍ عَنِ الْفَوَاصِلِ الزَّمْنِيَّةِ**، حِيثُ رَأَيْنَا، أَنَّ تَرَدُّدَ اهْرَازَاتِ الشَّبِيَّكَةِ الْبَلَوْرِيَّةِ مِنْ رَتْبَةِ  $10^{13} \text{ Hz}$ ؛ وَلَذِلِكَ، مِنْ أَجْلِ التَّرِيدَاتِ الْبَصْرِيَّةِ  $(10^{15} - 10^{14} \text{ Hz})$ ، لَنْ تَكُونَ أَيُونَاتُ الشَّبِيَّكَةِ الْبَلَوْرِيَّةِ قَادِرَةً عَلَى مَوَاكِبَةِ الْحَقْلِ عَلَى الإِطْلَاقِ. وَمَا يُؤَكِّدُ ذَلِكَ، الْمَعْطَيَّاتُ الَّتِي يَوْضِعُهَا الجُدُولُ 9-2 حِيثُ يَحْوِي  $\epsilon$  الْكَهْرَبَائِيَّةَ وَ $\epsilon$  الْبَصْرِيَّةَ مِنْ أَجْلِ مَوَادِ الْمُخْتَارَةِ؛  $\epsilon$  السَّاکِنَةِ أَكْبَرُ بِشَكْلٍ مَلْحُوظٍ مِنْ  $\epsilon$  الْبَصْرِيَّةِ، مَا عَدَ حَالَةُ الْأَلْمَاسِ الَّتِي مِنْ أَجْلِهَا الْاسْتَقْطَابُ الْإِلْكْتَرُونِيِّ فَقَطُ يُمْكِنُ أَنْ يَؤْدِي دُورًا.

يُمْكِنُنَا وَصْفُ التَّابِعِيَّةِ التَّرِيدِيَّةِ  $\omega$  بِشَكْلٍ كَمِيٍّ أَكْثَرُ مِنْ أَجْلِ نَمُوذِجٍ بِسِيِّطٍ وَلَكِنَّهُ مُعَبِّرٌ جَدًا.

- لَقَدْ نَاقَشْنَا سَابِقًا أَنَّهُ بِمَقْدُورِ الضَّوْءِ الْاَقْتَرَانِ مَعَ فُونُونَاتِ بَصْرِيَّةٍ **فَقْطُ** بِالْقَرْبِ جَدًا مِنْ مَرْكَزِ مَنْطَقَةِ بَرِيلُوَانَ عِنْدَ  $k = 0$ . تَوَافُقُ هَذِهِ الْفُونُونَاتِ اهْرَازَاتِ الْأَيُونَاتِ الْمُوجَّةِ وَالسَّالِبَةِ الْمُخْتَلِفَةِ بِالْطُّورِ فِي وَحدَةِ الْخَلِيَّةِ، وَالْمُتَفَقَّةِ بِالْطُّورِ فِيمَا بَيْنِ وَحدَاتِ الْخَلِيَّةِ.

- بِهَذَا الشَّكْلِ، يُعَدُّ نُمْطُ الْاهْرَازِ عِنْدَ  $k = 0$ ، الْاهْرَازُ الْمُنَاسِبُ الْوَحِيدُ مِنْ أَجْلِ التَّأْثِيرِ مَعَ الضَّوْءِ، وَلَذِلِكَ نَقَارِبُ الْبَلَوْرَةِ بِهَرَازَاتِ تَوَافِقِيَّةِ مُسْتَقْلَةٍ؛ بِهَرَازٍ بَصَرِيٍّ وَاحِدٍ فِي كُلِّ وَحدَةِ الْخَلِيَّةِ.

- فَكُلُّ هَرَازٍ سَيُنْقَادُ بِحَقْلٍ خَارِجِيٍّ مِنَ الشَّكْلِ  $E_0 \exp(-i\omega t)$  وَيَمْتَلِكُ تَرَدُّدًا تَجَاوبُ  $\sqrt{2\gamma/M} = \omega_0$ ، حِيثُ  $\gamma$  ثَابِتُ الْقُوَّةِ وَ $M$  الْكَتْلَةِ الْمُخْتَلِفَةِ لِجَمِيلَةِ الْأَيُونِيِّنِ.

- تُنْدَلُ أَيْضًا فِي مَعَادِلَةِ الْحَرْكَةِ حَدَّ التَّخَامِدِ،  $\eta dx/dt$ ، الَّذِي يُعَدُّ مَتَنَسِّبًا طَرِيدِيًّا مَعَ السَّرْعَةِ، أَيْ مَعَ الْمَعْدُلِ الَّذِي تَتَغَيَّرُ وَفَقَهُ الْمَسَافَةِ الْذَّرِيَّةِ. يَكُمِنُ الْمَعْنَى الْفِيُزِيَّانِيُّ لِذَلِكَ فِي أَنَّهُ إِذَا أَصْبَحَتْ هَذِهِ الْحَرْكَةِ الْخَاصَّةُ قَوِيَّةً جَدًا، فَمِنْ الْمُرْجَحِ أَنَّهَا سَتَهْيَجُ اهْرَازَاتِ أُخْرَى، فَتَخَامِدُ الْحَرْكَةَ عَلَى أَثْرِ ذَلِكَ.

- إِذَنَ، مَعَادِلَةُ الْحَرْكَةِ النَّاتِجَةِ تَخَصُّ هَرَازًا تَوَافِقِيًّا مَتَخَامِدًا وَقَسْرِيًّا وَتَأْخُذُ الشَّكْلَ الْأَتَى:

$$\frac{d^2x}{dt^2} + \eta \frac{dx}{dt} + \omega_0^2 x = \frac{e E_0}{M} \exp(-i \omega t). \quad (10-9)$$

نلاحظ أن هذه الحالة مشابهة لمسألة إلكترون حر في حقل خارجي حيث كان لدينا معادلة الحركة (22-5) التي لا تحوي لا قوة إرجاع ولا تاخمد. **نعرض**، كما في تلك الحالة، **عن الحل ومشتقاته**

$$x(t) = A \exp(-i \omega t), \quad (11-9)$$

$$x'(t) = -i \omega A \exp(-i \omega t);$$

$$x''(t) = -\omega^2 A \exp(-i \omega t)$$

**في معادلة الحركة** (10-9) فنحصل على علاقٍة من أجل المطال  $A$  من الشكل الآتي:

$$-\omega^2 A - i \eta \omega A + \omega_0^2 A = \frac{e E_0}{M}$$

ومن ثم

$$A = \frac{e E_0}{M} \frac{1}{(\omega_0^2 - \omega^2) - i \eta \omega}. \quad (12-9)$$

ستكون العلاقة الأخيرة مفيدة لتجزئة المطال  $A$  إلى إلى قسمين؛  **حقيقي وتخيلي**، من خلال ضرب بسط ومقام الكسر بالمرافق العقدي للمقام:

$$A = \frac{e E_0}{M} \left( \frac{\omega_0^2 - \omega^2}{(\omega_0^2 - \omega^2)^2 + \eta^2 \omega^2} + i \frac{\eta \omega}{(\omega_0^2 - \omega^2)^2 + \eta^2 \omega^2} \right). \quad (13-9)$$

→ **سيترافق اهتزاز الأيونات باستقطاب أيوني**، من الشكل  $ex(t) = eA \exp(-i \omega t)$ ، من أجل كل وحدة خلية.

→ **وبناءً عليه يمكننا حساب الاستقطاب الكلي من أجل بلورة بـ  $N$  وحدة خلية وحجم  $V$ .**

→ **ندرس إلى جانب الاستقطاب الأيوني،  $P_i(t)$  ، الاستقطاب الإلكتروني للأيونات،  $P_e(t)$  ، حيث نحصل على علاقٍة الاستقطاب الإجمالي الآتية:**

$$\begin{aligned} P(t) &= P_i(t) + P_e(t) \\ &= \frac{N}{V} eA \exp(-i \omega t) + \frac{N}{V} \alpha E_0 \exp(-i \omega t). \end{aligned} \quad (14-9)$$

لقد افترضنا، بغرض التبسيط، وجود نوع واحد فقط من الأيونات بكتافة  $N/V$  واستقطابية ذرية فعالة،  $\alpha$ . يمكننا من خلال تعريف مناسب لـ  $\alpha$  ، أن نأخذ بالحساب النوعين المختلفين للأيونات في البلورة واستقطابهما المختلفين. بمقدورنا الآن حساب تابع العازلية:

$$\begin{aligned} \epsilon &= \frac{P(t)}{\epsilon_0 E_0 \exp(-i \omega t)} + 1 = \frac{\frac{N}{V} eA \exp(-i \omega t) + \frac{N}{V} \alpha E_0 \exp(-i \omega t)}{\epsilon_0 E_0 \exp(-i \omega t)} + 1 \\ \therefore \epsilon &= \frac{NeA}{V \epsilon_0 E_0} + \frac{N\alpha}{V \epsilon_0} + 1. \end{aligned} \quad (15-9)$$

نعلم أن  $P_i = 0$  ، عند الترددات العالية كافيةً، ولذلك يجب أن يوافق الحد البصري  $\epsilon_{\text{opt}}$  المساواة

$$\epsilon_{opt} = \frac{N\alpha}{V \epsilon_0} + 1, \quad (16-9)$$

ومن ثم

$$\epsilon(\omega) = \frac{NeA}{V \epsilon_0 E_0} + \epsilon_{opt}. \quad (17-9)$$

بالتعويض عن  $A$  من العلاقة (9-13) في المعادلة الأخيرة نحصل على العلاقة النهائية من أجل تابع العازلية،  $\epsilon_r(\omega) = \epsilon_i(\omega) + i\epsilon_i(\omega)$ ، بقسميه الحقيقي والتخييلي، كما يأتي:

$$\epsilon_r(\omega) = \frac{Ne^2}{V \epsilon_0 M} \frac{\omega_0^2 - \omega^2}{(\omega_0^2 - \omega^2)^2 + \eta^2 \omega^2} + \epsilon_{opt}. \quad (18-9)$$

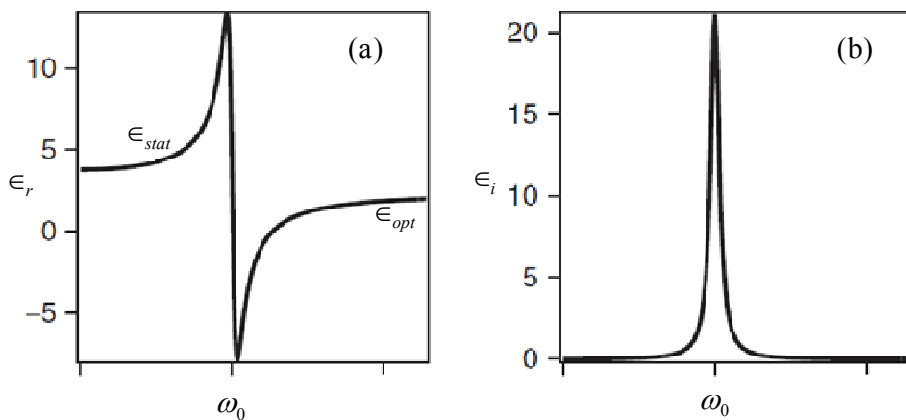
و

$$\epsilon_i(\omega) = \frac{Ne^2}{V \epsilon_0 M} \frac{\eta \omega}{(\omega_0^2 - \omega^2)^2 + \eta^2 \omega^2}. \quad (19-9)$$

يوضح الشكل (4-9) رسمأً تخطيطياً لكلا قسمي تابع العازلية،  $\epsilon_r(\omega)$  :

- **القسم الحقيقي**  $\epsilon_r(\omega)$  ثابت تقريباً عندما يكون التردد بعيداً جداً عن  $\omega_0$  (سواء أخفض بكثير أو أعلى بكثير)، ولكن قيمته عند الترددات المنخفضة أعلى من قيمته عند الترددات المرتفعة (لماذا؟ اذكر السبب!) ؛
- أمّا **القسم التخييلي**  $\epsilon_i(\omega)$  فيساوي الصفر تقريباً من أجل كل الترددات ما عدا في الجوار المباشر للتردد  $\omega_0$  حيث يُبدي قيمة Pick بعرضٍ يعطى وسطياً بـ  $\eta$ .

ما زالت الكمية  $\epsilon_i$  لمعرفة ذلك، ندرس تبدد (ضياع) الطاقة في المنظومة المهترزة: فالاستطاعة الكهربائية **الآلية** المتبددة في وحدة الحجم تُعطى بالعلاقة:



الشكل (4-9): تابع العازلية من أجل **هزاز تواقي قسري متاخم** بجوار تردد التجاوب  $\omega_0$ .

(a) **القسم الحقيقي**. (b) **القسم التخييلي**  $\epsilon_i$ .

يرمز  $\epsilon_{stat}$  و  $\epsilon_{opt}$  للقيمة الساكنة والبصرية للقسم الحقيقي  $\epsilon_r$  على الترتيب.

$$p(t) = j(t) E(t), \quad (20-9)$$

حيث  $j(t)$  كثافة التيار المتناوب (AC) و  $E(t) = E_0 \exp(-i\omega t)$  الحقل الكهربائي.<sup>3</sup> وكالعادة نكتب في البُلُورات العازلة لا توجد تيارات حرجة ومن جهة أخرى نفرض عدم وجود حقول مغناطيسية؛ فالتيارات الوحيدة الموجودة فيها هي تيارات الاستقطاب؛ وعندما نطبق قانون أمبير على المادة المدروسة فنحصل على المعادلة الآتية:

$$j(t) = -\frac{\partial D}{\partial t} = -\frac{\partial}{\partial t} \in_0 E(t) = i\omega \in_0 E(t) (\in_r + i \in_i) = \in_0 E(t) (i\omega \in_r - \omega \in_i). \quad (21-9)$$

يمكن الآن حساب الاستطاعة الوسطية المتبددة في دورة واحدة بالعلاقة الآتية:

$$\bar{p} = \frac{1}{T} \int_0^T E(t) j(t) dt, \quad (22-9)$$

حيث  $\omega = 2\pi/T$  زمن اهتزازة واحدة. يمكننا أن نرى بسهولة ماذا يحدث في حالتين حدّيتين:

- إذا كان تابع العازلية **تخيليًّا صرفاً**، فإن  $j(t)$  مختلف بالطُّور عن  $E(t)$ ، وحاصل ضربهما مقدار سالب دوماً؛ في هذه الحالة، سيعطي التكامل الأخير قيمة غير صفرية ومن ثم الاستطاعة المتبددة في دورة واحدة تساوي:

$$\frac{1}{2} \in_0 \omega E_0^2.$$

- ولكن، إذا كان التابع  **حقيقيًّا صرفاً**، سيحصل انزياح طُّوري بمقدار  $2\pi/2$  بين  $j(t)$  و  $E(t)$ ، ومن ثم يتذبذب التابع الواقع تحت إشارة التكامل في المعادلة (22-9) حول الصفر، ويعطي التكامل القيمة  $\bar{p} = 0$ .

- ولذلك، نجد أن القسم **التخيلي**،  $\in_i$ ، لتابع العازلية يقيس **درجة التبدد** للاستطاعة في الجسم الصلب المدروso. من الواضح أنها تكون أعلى ما يمكن عند تردد التجاوب حيث يأخذ المطال الاهتزازي أعلى قيمة؛
- وهذا **يؤدي إلى تحريض اهتزازات أخرى** من خلال وجود حد الاحتكاك في المعادلة (10-9) **إلى تبدد** استطاعة موافق لهذا التحريض.

#### 4-9 الانتقالات الإلكترونية Electronic Transitions

- لقد رأينا الآن **كيف يستطيع الضوء أن يهيج فونونات بصرية**، إذ يحدث ذلك من أجل ضوء تحت أحمر بطاقة فوتونية **أقل بكثير** من عرض الفجوة الطاقية،  $E_g$ ، ( $h\nu \ll E_g$ )
- أمّا من أجل فوتونات تحقق المترادفة**  $E_g > h\nu$  **تصبح التغييرات الإلكترونية** عبر الفجوة الطاقية ممكّنة، كما وجدنا عند مناقشة المواضيع ذات الصلة بالخلايا الشمسية.
- ما نقوم بوصفه هنا لا يقتصر على **البُلُورات العازلة** فقط، فهو محقق وعلى قدر المساواة من أجل أنصاف النوافل عندما  $E_g > h\nu$ ، وال فكرة العامة يمكن تطبيقها أيضاً من أجل **البُلُورات الفلزية**.

<sup>3</sup> نحن نتعامل مع كميات سلّمية هنا، لأننا فرضنا أن  $j(t)$  و  $E(t)$  في الاتجاه ذاته، ولكن ليس بالضرورة مختلفين بالطُّور.

السؤال الذي يُطرح هنا يكمن في **كيفية تأثير بنية عصابات الطاقة لمادة على امتصاص الضوء**، وفيما إذا كانت هناك تواترات ضوئية محددة، **يكون الامتصاص من أجلها شديداً** على وجه الخصوص؟. يمكن الإجابة على هذا السؤال في إطار التابع العازلية العقدي الذي قمنا للتو بالحصول عليه.

→ لقد فرضنا إلى الآن أنه من أجل ترددات أعلى من **تردد الفونون البصري** يوجد استقطاب إلكتروني

**فقط**، وهو المفعول الذي يؤدي إلى  $\hat{H}_{opt}$  (في تابع العازلية) عالي التواتر.

→ وكما نرى من الشكل (4-9)، يكون تابع العازلية الناتج عالي التواتر من الشكل  $\epsilon(\omega) = \epsilon_{opt} + i\hbar\nu_g$ ، غياب القسم التخيلي يفترض عدم إمكانية امتصاص أي طاقة؛ ومن أجل  $\hbar\nu_g > E_g$ ، يحتاج هذا المفهوم لإعادة نظر. يبدو أن  $\epsilon(\omega)$  ليس ثابتاً، بل يمتلك بعض التراكيب الواضحة المعالم (كالقمم) من أجل معظم المواد. وهذا واضح من المواد المختلفة الألوان، بما فيها الفلزات.

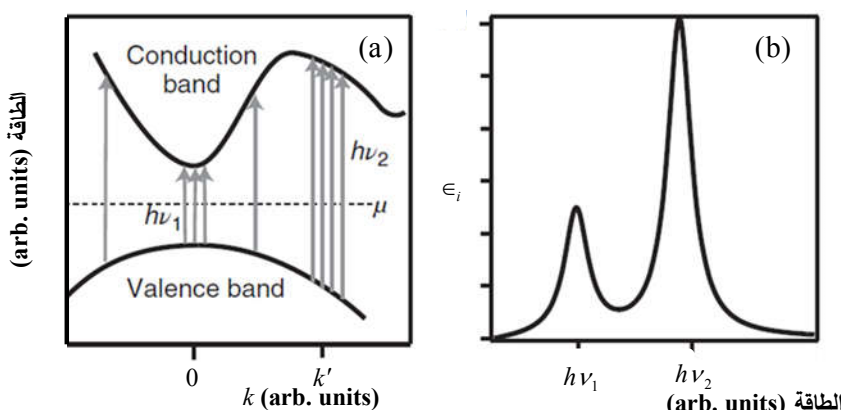
▪ إن **هذه التابعية التردديّة**  $\epsilon(\omega)$  في منطقة الضوء المرئي والأشعة فوق البنفسجية **ناتجة** من تهيج الإلكترونات من الحالات المشغولة إلى الحالات الشاغرة ولذلك نحن بحاجة لدراسة بنية عصابات الطاقة للمادة لكي نرى أي التهيجات ممكنة فعلياً؛ ولكن الفكرة الرئيسية مفهومة من الفيزياء الذرية.

▪ **فالذرات** تمتلك سويات طاقة منفصلة **وعندما يُسمح لانتقال ما** بالحدوث بين سوية مشغولة وأخرى شاغرة **وفق قواعد الاصطفاء البصريّة**، **سيؤدي ذلك إلى امتصاص شديد للضوء** عندما تساوي طاقة الفوتون الفارق الطaci بين هاتين السويتين.

▪ ومن **أجل الأجسام الصلبة**، تتعرّض سويات الطاقة الذرية لتشكل عصابات طاقية، ولكن الامتصاص الشديد يحدث أيضاً من أجل طاقات فوتونية تسمح بانتقالات متعددة من حالات مشغولة إلى حالات شاغرة.

لندرس بنية عصابة طاقة مبسطة لعازلي أو نصف ناقي، يوضحها الشكل (5a-9):

- نفرض أن الكمون الكيميائي يقع في مكان ما بين عصابة التكافر (VB) وعصابة الناقلة (CB).
- يمكن أن يحدث امتصاص الفوتونات عندما  $\hbar\nu_g > E_g$ ، فيؤدي إلى تهيج الإلكترونات من VB إلى CB.



الشكل (5-9): (a) مساهمات في القسم التخيلي  $\epsilon(\omega)$  بسبب انتقالات بين حالات مشغولة وحالات شاغرة. تشير الخطوط الرمادية الفاتحة لانتقالات الممكنة. كثافة مثل هذه الانتقالات مرتفعة عند  $\vec{k} = \vec{k}' = 0$  لأن VB و CB متوازيان هنا. (b) ينتج  $\epsilon_i$  من الانتقالات الممكنة في بنية عصابة الطاقة هذه.

وكما وجدنا سابقاً يكون المتجه الموجي من أجل الفوتونات التي طاقاتها تقع في المجال المرئي أو فوق البنفسجي **قصيراً جداً** ولذلك يستوجب انفاذ الانفاس البليوري أن يبقى المتجه الموجي للإلكترون،  $\vec{k}$ ، ثابتاً في ذلك الانتقال (زادت متجه الشبكة المقلوبة). يشار للانتقالات الممكنة، المترسبة- فوتونياً، في الشكل (5a-9) بأسمهم فاتحة اللون.

توافق هذه الانتقالات امتصاص الطاقة من قبل الجسم الصلب، ورأينا أن مثل هذا الامتصاص يمكن أن يوصف بالقسم التخييلي لتابع العازلية،  $\epsilon$ . ويمكننا أن نكتب من وحي النموذج البسيط العلاقة الآتية لتابع العازلية:

$$\epsilon_i(\omega) \propto \sum_{\vec{k}} M^2 \delta \left( \underbrace{E_C(\vec{k}) - E_V(\vec{k})}_{\Delta E} - h\nu \right), \quad (24-9)$$

حيث يشمل المجموع كل قيم  $\vec{k}$  المسماة في **منطقة بريلوان الأولى**، و  $M$  عنصر مصفوفة يحدد احتمال الانتقال،

ويرمز  $\delta$  لتابع دلتا- ديراك، و  $E_V(\vec{k})$  طاقتا تبدد عصابتي الناقلية والتكافؤ على الترتيب.

❖ إذا صرفاً النظر عن عنصر المصفوفة، فإن العلاقة الأخيرة (24-9) تحسب عدد الانتقالات الممكنة من أجل طاقة  $h\nu$  محددة،

❖ التابع  $\delta$  يساوي الواحد فقط إذا كان الفارق الطيفي  $E_C(\vec{k}) - E_V(\vec{k})$  مساوٍ تماماً لـ  $h\nu$ .

❖ ولذلك، يمتلك تابع العازلية،  $\epsilon_i(h\nu)$ ، قيمة قصوى عند قيم  $h\nu$  التي من أجلها تكون الانتقالات المتعدة المختلفة بين VB و CB ممكنة.

والحالة في الشكل (5a-9) هي من أجل **بداية الامتصاص عند الطاقة** ( $h\nu_1 = E_g(\vec{k}) = 0$ ) وحول  $\vec{k}'$ ، أي في منطقة بريلوان حيث يكون VB و CB موازيان لبعضهما البعض.

❖ بهذا الشكل، يمكن توقع ظهور القمم (القيم القصوى) في  $\epsilon_i$  عند الطاقتين  $h\nu_1$  و  $h\nu_2$ ، كما يوضح الشكل (5b-9)؛ **وطالما أن هذه القمم توافق امتصاصاً شديداً، فإنها تحدد لون الجسم الصلب.**

بهذا الشكل، يمكن مفتاح الامتصاص الشديد في أن حالات VB و CB تتبدل بشكل متوازٍ في أجزاءٍ كبيرةٍ من منطقة بريلوان. من الواضح أن هذا الشرط متحقق من أجل عصابات مستوية جداً، تتبع من حالات شديدة التوسيع. ومن ثم، ثديكنا هذه الحالة بامتصاص الضوء بالانتقالات بين السويات الذرية.

## 5-9 المفاعيل الفيزيائية الأخرى Other Effects

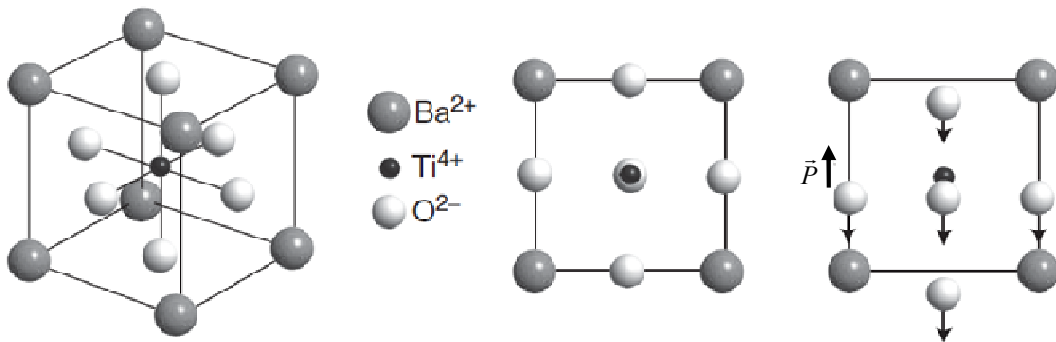
## 9-5-9 الشوائب في المواد العازلة Impurities in Dielectrics

إن إضافة كمية قليلة من الشوائب إلى المواد العازلة تؤثر بوضوح على خصائصها، بشكل مشابه جداً لحالة أنصاف النواقل. سنقدم هنا مثالين:

- ❖ الحالـةـ الـأـكـثـرـ وـضـوـحـاـ تـكـمـنـ فـيـ تـغـيـرـ الـخـصـائـصـ الـبـصـرـيـةـ الـتـيـ يـمـكـنـ أـنـ تـنـتـجـ مـنـ إـضـافـةـ الـشـوـائـبـ؛
- ✓ فـيـسـبـبـ فـجـوـاتـهـاـ الطـاـقـيـةـ الـكـبـيـرـةـ،ـ مـعـظـمـ الـمـوـادـ عـاـزـلـةـ تـسـعـيـ لـأـنـ تـكـوـنـ شـفـافـةـ؛ـ مـثـلـ NaClـ،ـ وـالـأـلـمـاسـ،ـ وـالـيـاقـوـتـ الـأـزـرـقـ .Sapphireـ.
- ✓ وـجـودـ الـشـوـائـبـ فـيـ الـمـادـةـ الـتـيـ تـمـتـلـكـ حـالـاتـ إـلـكـتـرـوـنـيـةـ دـاـخـلـ فـجـوـاتـهـاـ الطـاـقـيـةـ،ـ يـمـكـنـ أـنـ تـؤـدـيـ إـلـىـ تـغـيـرـ حـادـ فيـ الـخـصـائـصـ الـبـصـرـيـةـ،ـ لـأـنـ الـاـنـتـقـالـاتـ الـآنـ مـنـ حـالـاتـ الـشـوـائـبـ (أـوـ إـلـيـهـاـ)ـ مـمـكـنـةـ،ـ وـعـنـدـهـاـ سـيـبـيـديـ،ـ تـجـاـوـبـاـ عـنـ الطـاـقـةـ الـمـوـافـقـةـ (ـرـاجـعـ الـعـلـاقـةـ (9-24ـ)).ـ
- ✓ وـثـمـةـ أـمـثـلـةـ جـيـدـةـ عـلـىـ هـكـذـاـ حـالـاتـ شـوـائـبـ مـتـوـافـرـةـ فـيـ الـيـاقـوـتـ؛ـ فـتـبـعـاـ لـنـوـعـ الشـائـبـ،ـ يـمـكـنـ لـلـيـاقـوـتـ أـنـ يـأـخـذـ أـلـوـانـ مـخـلـفـةـ (ـوـأـسـمـاءـ)،ـ فـعـلـىـ سـبـيلـ الـمـثـالـ:

  - التـوـبـازـ (ـالـأـصـفـرـ)ـ (yellowـ)ـ،ـ Topazـ
  - أـوـ الـجـمـشـيـتـ (ـالـأـمـيـتـيـسـ)ـ (ـالـأـرـجـوـانـيـ)ـ (ـاـلـأـرـجـوـانـيـ)،ـ Amethystـ
  - أـوـ الـرـوـبـيـ (ـالـأـحـمـرـ)ـ (ـرـوـبـيـ)،ـ Rubyـ
  - أـوـ الـزـمـرـودـ (ـالـأـخـضـرـ)ـ (ـزـمـرـودـ)،ـ Emeraldـ
  - أـوـ الـيـاقـوـتـ (ـالـأـزـرـقـ)ـ (ـيـاقـوـتـ)،ـ Sapphireـ

- ❖ يـمـكـنـ اـسـتـعـمـالـ الـشـوـائـبـ أـيـضـاـ لـجـعـلـ الـعـوـازـلـ نـاقـلـةـ لـلـتـيـارـ الـكـهـرـيـائـيـ،ـ بـشـكـلـ مشـابـهـ تـمـامـاـ لـأـنـصـافـ النـواـقـلـ الـمـطـعـمـةـ؛ـ إـذـ يـجـبـ أـنـ تـقـعـ السـوـيـاتـ الـمـانـحـةـ أـوـ الـآـخـذـةـ بـالـقـرـبـ مـنـ CBـ وـ VBـ،ـ عـلـىـ التـرـتـيبـ،ـ لـجـعـلـ كـثـافـةـ الـإـلـكـتـرـوـنـاتـ وـالـثـوـبـ مـعـقـولـةـ،ـ وـمـنـ ثـمـ لـزـيـادـةـ الـنـاقـلـةـ.
- ❖ وـالـمـيـزةـ الـمـهـمـةـ الـتـيـ تـتـقـوـقـ فـيـهـاـ الـمـوـادـ عـاـزـلـةـ عـلـىـ مـادـةـ نـاقـلـةـ عـادـيـةـ تـكـمـنـ فـيـ إـمـكـانـيـةـ اـسـتـعـمـالـ الـمـوـادـ عـاـزـلـةـ الـمـشـوـبـةـ فـيـ تـطـبـيقـاتـ درـجـاتـ الـحـرـارـةـ الـمـرـفـعـةـ.
- ✓ فـيـ نـصـفـ نـاقـلـ ضـيقـ الـفـجـوـةـ الـطـاـقـيـةـ،ـ تـُـدـ درـجـاتـ الـحـرـارـةـ الـمـرـتـقـعـةـ مشـكـلـةـ،ـ بـسـبـبـ العـدـدـ الـمـتـزـاـيدـ أـسـيـاـ لـلـحـامـلـاتـ الـذـاتـيـةـ؛ـ
- ✓ أـمـاـ فـيـ عـاـزـلـ مـطـعـمـ فلاـ وـجـودـ لـهـذـهـ الـمـشـكـلـةـ فـيـ درـجـاتـ الـحـرـارـةـ الـمـنـاسـبـةـ عـمـلـيـاـ.



الشكل (6-9): الجزء الأيسر: وحدة الخلية لتيتانات الباريوم  $\text{BaTiO}_3$  مع شحنات الأيونات. الجزء الأيمن: في الحالة الفروكهربيّة تنازح الشبكة البلوريّة الجزيئيّة للأكسجين (السالب) بالنسبة للشبكة الجزيئيّة الحاويّة أيونات  $\text{Ba}$  و  $\text{Ti}$  (الموجّة).

## 9-5-2 الفروكهربيّة Ferroelectricity

**المواد الفروكهربيّة** هي أجسام صلبة ثبدي عزم (ثنائي - قطب) كهربائيٌّ **تلقائيٌّ**، شبيه جداً بالعزل المغناطيسي التلقائي في المواد الفرومغناطيسية (الفرومغناط Ferromagnets). وخلافاً لذلك، مصطلح "فروكهربيّة" خادع تماماً، لأن مادة الفروكهربيّة العاديّة لا تحتوي حديداً، والأالية المؤديّة إلى الاستقطاب يمكن أن تختلف كثيراً عن الفرومغناطيسية.

تُعدُّ **تيتانات الباريوم** ( $\text{BaTiO}_3$ ) فروكهربيّ نموذجي، ينبعق عزم

(ثنائي - القطب) الكهربائي فيه من استقطابِ **أيونيٍّ**:

- **شبكة الأكسجين** (المشحونة سلبياً) **تنازح بالنسبة** لأيونات الباريوم  $\text{Ba}$  والتitanium  $\text{Ti}$  المشحونة إيجابياً فيظهر الاستقطاب الأيوني. وتكون خصوصية هذا الاستقطاب في أنه **مستقرٌ** من دون حقل كهربائي خارجي.
- وعند تطبيق حقل كهربائي خارجي، **يمكن لاتجاهية** استقطاب الفروكهربيّ أن **تنعكس تماماً، إضافةً** إلى وجود دورة بطاء مشابهة جداً لدورة البطاء في الفرومغناطيسية.

إن الفكرة الأساسية التي تقف خلف هذا المفعول الفروكهربيّ تكمن في الآتي:

لقد ناقشنا معادلة حركة **أيونين** موجودين في **وحدة الخلية الواحدة**، حيث نتج منها استقطاب أيوني باستخدام

$$\frac{d^2x}{dt^2} + \eta \frac{dx}{dt} + \omega_0^2 x = \frac{eE_0}{M} \exp(-i\omega t),$$

- وفي هذا الإطار درسنا حركة الأيونات الواقعة تحت تأثير الحقل الكهربائي الوسطي في الجسم الصلب. كان من الواجب استخدام الحقل الموضعي، ولكننا توصلنا إلى أن ذلك لن يُغيّر من الأمر شيئاً.
- **ولكن** في حالة المواد الفروكهربيّة هذا التميّز مهم، **لأنه إذا حركنا أيوناً** عن موضع توازنه، بمقدور قوة الحقل الموضعي **أن تجذبه أكثر** إذا كانت أشد من قوة الإرجاع التواقيّة.
- في نهاية المطاف، يتم بلوغ توازن القوى، ولكن بهذه الطريقة يحدث تشوّه وينشأ (ثنائي - قطب) كهربائي دائم.

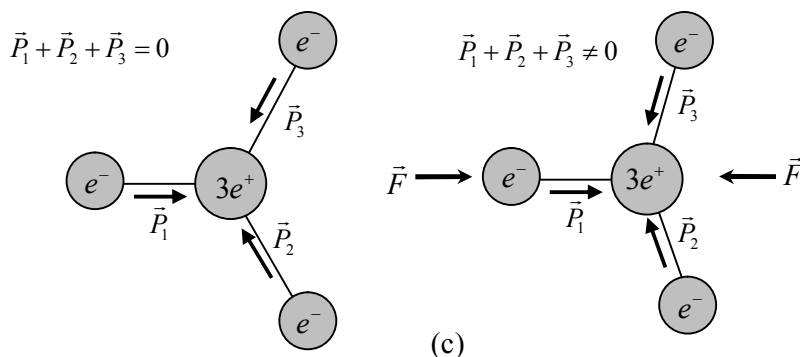
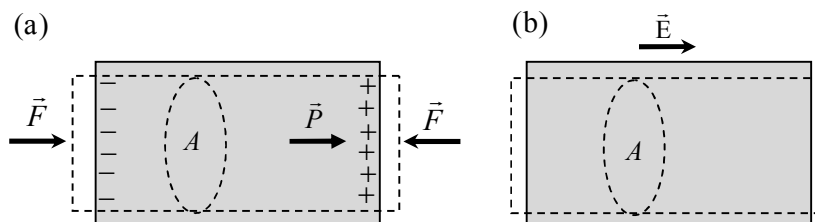
- عند درجة حرارة معينة، تُصبح الترددات الحرارية قوية كافيةً لكي تشوّه حالة الفروكهربيائي.
- وكما في حالة الفروكمغنتيسية، تسمى درجة الحرارة هذه درجة حرارة كيوري؛ فمن أجل **تيتانات الباريوم**، تبلغ درجة حرارة كيوري نحو  $130^{\circ}\text{C}$ .

إن **جوهر الفروكهربيية** يسمح لنا بفهم ثابت العازلية الكبير جداً **لتيتانات السترونتيوم** ( $\text{SrTiO}_3$ ). تمتلك نفس البنية البلورية التي تمتلكها  $\text{BaTiO}_3$  وعلى الأغلب هي فروكهربيية، ولكن ليس تماماً **(يمكن جعلها فروكهربية في الأفلام الرقيقة وتحت الإجهاد)**. تبقى تيتانات السترونتيوم قابلة للاستقطاب بسهولة كبيرة وتمتلك ثابت عازلية عالٍ. بهذا الشكل، يمكن أن يكون للمواد الواقعة على حافة الفروكهربيية تطبيقات جديرة بالاهتمام؛ **كوازل بوابة في ترانزستورات** مفعول الحقل من نوع (فلز - أكسيد - نصف ناقل) **MOSFETs**.

### 9-3 الكهرباغطية Piezoelectricity

الكهرباغطية هي مفعول يطبق فيه إجهاد ميكانيكي على مادة يؤدي لاستقطاب كهربائي ماكروسโคبي. وهذا بدوره يؤدي إلى ظهور شحنات سطحية محصلة، يمكن كشفها عن طريق قياس الجهد الكهربائي بين طرفي العينة، راجع [الشكل \(7a-9\)](#).

والمفعول المعاكس موجود أيضاً، فتطبيق جهد كهربائي بين طرفي المادة، يؤدي إلى انفعال ميكانيكي ماكروسโคبي، راجع [الشكل \(7b-9\)](#).



الشكل (7-9): (a) تعرّض مادة كهرباغطية لإجهاد ميكانيكي يسبب استقطاباً كهربائياً ماكروسโคبياً. (b) وبالعكس، تطبيق حقل كهربائي بين طرفي عينة يؤدي إلى إجهاد ميكانيكي. (c) هذا ناتج من تشوّه الوحدات في البلورة. تظهر مثل هذه الوحدة على اليسار من دون حقل أو إجهاد مطبق. تتألف الوحدة من ثلاثة عزوم ثانية-قطب التي مجموعها يُمثّل عزم ثانوي قطب كلّي يساوي الصفر. وعلى اليمين، يُطبق إجهاد؛ يُسبب تشوّهاً للوحدة فيفتح عزم ثانوي قطب إجمالي مختلف عن الصفر.

- يُظهر الشكل أيضاً **تركيباً مجهرياً** (وحدة ميكروسكوبية) محتملاً بمقدوره أن يُسبب هذا المفعول:
- تحوي هذه **الوحدة الميكروسكوبية ثلاثة** (ثنائيات- قطب) كهربائي، تصف طبقية يساوي من أجلها عزم (ثنائي- القطب) الإجمالي صفرأً.
- إن **تشوه الوحدة الميكروسكوبية** يؤدي إلى ظهور عزم (ثنائي- قطب) مجهري إجمالي لا يساوي الصفر؛ في نهاية المطاف، ستشوه **هذه الوحدة** عند تطبيق حقل كهربائي.
- تجدر الإشارة إلى أن المواد الفروكهربيّة تُبدي كهرباغطية ولكن العكس ليس بالضرورة صحيحاً. الخصوصية الكامنة خلف الفروكهربيّة هي الاستقطاب الكهربائي التلقائي للجسم الصلب. للمواد الكهرباغطية الكثير من التطبيقات؛ مثل ذلك،
- ✓ حساسات (كتاك الموجودة في الميكروفونات)،
- ✓ أو مصادر الجهد العالي (القداحة)،
- ✓ أو المشغلات الميكانيكية (مكبرات الصوت).

تُعد المشغلات الميكانيكية التي قوامها بلورة انضغاطية مهمةً من أجل النانوتكنولوجي على وجه الخصوص، لأنها تسمح بتحديد الموقع بدقة منقطعة النظير؛ فهي تُستخدم من أجل **تحديد موقع رأس المجر** في مصوّرة العبور بالنفق الماسح STM على سبيل المثال.

#### 4-5 انهيار العازلية Dielectri Breakdown

إذا كان الحقل الكهربائي المطبق بين طرفي عازل كبيراً جداً، فإنه سيبدأ بنقل تيار كهربائي. تُعرف هذه الظاهرة بانهيار العازلية. تكمن آلية حدوث الانهيار الكهربائي في أن بعضـاً من الحاملات الحرة (الناتجة من الشوائب مثلاً) يتسارع في الحقل الكهربائي بشكلٍ كبيرٍ، إلى درجةٍ يمكنها تأمين (تشريد) ذرات أخرى فتتولد حاملات حرة أكثر، وعندها يبدأ انهمارها بشكلٍ مشابه "لانهيار الثلوج على السفوح". يمكن تسهيل الانهيار الكهربائي يجعل المادة تعمل تحت تأثير حقل كهربائي بتواءٍ تجاوٍ حيث تتعدد كمية كبيرة من الطاقة، فتسخن المادة، وتزداد احتمالية توافر حاملات حرة.



مكتبة  
A to Z